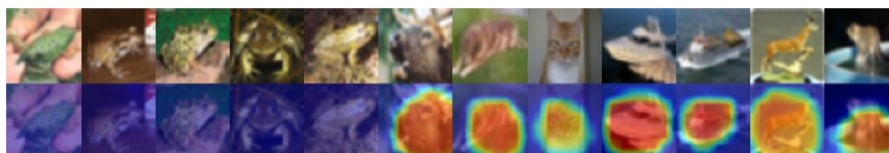
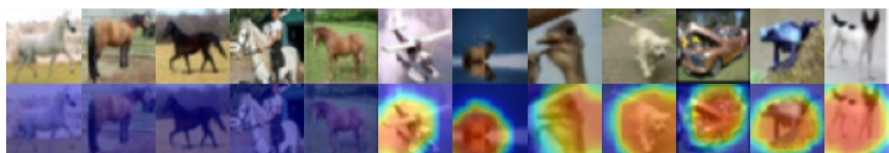


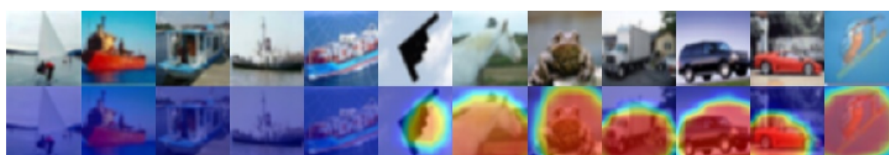
図A21: CIFAR-10における犬の異常検出結果。上から下へ: ADTRのサンプルと異常スコアマップ。1列目から5列目までの画像は正常なサンプルです。



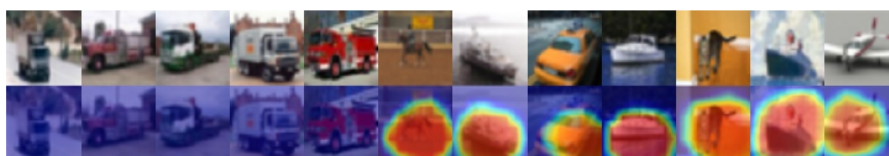
図A22: CIFAR-10におけるカエルの異常検出結果。上から下へ: ADTRのサンプルと異常スコアマップ。1列目から5列目までの画像は正常なサンプルです。



図A23: CIFAR-10における馬の異常検出結果。上から下へ: サンプルとADTRの異常スコアマップ。1列目から5列目までの画像は正常なサンプルです。



図A24: CIFAR-10における船の異常検出結果。上から下へ: ADTRのサンプルと異常スコアマップ。1列目から5列目までの画像は正常なサンプルです。



図A25: CIFAR-10におけるトラックの異常検出結果。上から下へ: ADTRのサンプルと異常スコアマップ。最初の列から5番目の列までの画像は正常なサンプルです。

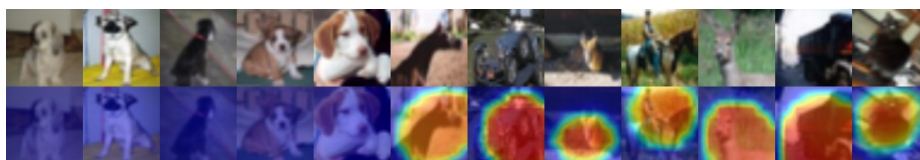


Fig. A21: Anomaly detection results of dog on CIFAR-10. From top to down: samples and the anomaly score maps of ADTR. Images from the first column to the fifth column are normal samples.

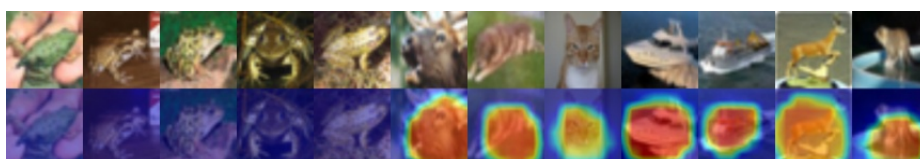


Fig. A22: Anomaly detection results of frog on CIFAR-10. From top to down: samples and the anomaly score maps of ADTR. Images from the first column to the fifth column are normal samples.

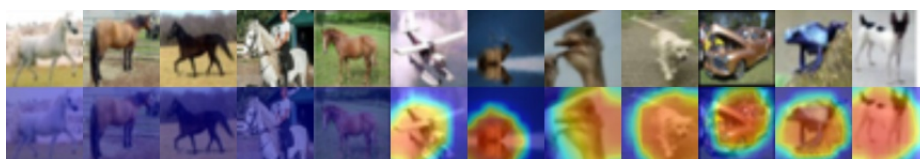


Fig. A23: Anomaly detection results of horse on CIFAR-10. From top to down: samples and the anomaly score maps of ADTR. Images from the first column to the fifth column are normal samples.

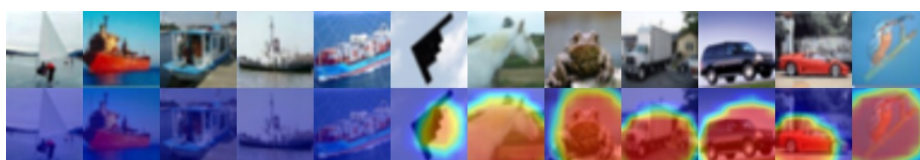


Fig. A24: Anomaly detection results of ship on CIFAR-10. From top to down: samples and the anomaly score maps of ADTR. Images from the first column to the fifth column are normal samples.



Fig. A25: Anomaly detection results of truck on CIFAR-10. From top to down: samples and the anomaly score maps of ADTR. Images from the first column to the fifth column are normal samples.